后生化检查示血钙 2.42 mmol/L, 血糖 3.98 mmol/L,

甲状腺功能、串联质谱、免疫球蛋白测定无殊,头颅

CT无殊,心电图示窦性心动过速,左房异常,提示双

室大,T波高尖(II、III、AVF、V4~V6)。肺功能检

查示脉冲震荡肺功能检查基本正常,肝脾肾彩色 B 超无殊,超声心动图示室间隔缺损、右肺动脉狭窄,

肺动脉高压,肺动脉瓣及左肺动脉流速增快,降主动脉流速增快,见图 2A。主肺动脉CT血管造影(CTA)

示右肺动脉狭窄,请结合临床考虑,提示室间隔缺

损,心内结构请结合心超检查,见图 2B。入院后患

儿完善术前检查,排除禁忌证,在全身麻醉气管插管 下行低温体外循环下室间隔缺损修补术+右肺动脉

・病例报告・

# Williams-Beuren 综合征患儿 4 例临床表现 及基因变异分析并文献复习

俞蓓蓉,陈君贤,闫露露,邱海燕,吴军华

doi:10.3969/j.issn.1671-0800.2024.11.037

【中图分类号】 R596.1 【文献标志码】 B 【文章编号】 1671-0800(2024)11-1526-04

Williams-Beuren 综合征(Williams-Beurensyndrome,WBS)是一种常染色体显性遗传的多系统神经发育障碍性疾病,其发病率在活产婴儿为  $1/20\,000$   $\sim 1/7\,500$ ,无明显性别差异 $^{[1-2]}$ 。WBS 的主要临床表现包括心血管异常[如主动脉瓣上狭窄(supravalvular aortic stenosis,SVAS)]、颅面异常、结缔组织异常(如关节松弛)、生长发育迟缓、神经发育和认知异常、泌尿生殖系统异常和独特的人格特征,其致病机制为7号染色体7q11.23基因缺失,片段大小为  $1.5\sim 1.8$  Mb $^{[3]}$ 。大多数 WBS 为新发变异 $^{[4]}$ 。本文拟对 4 例WBS 患儿临床特征及基因变异进行回顾性分析,现报道如下。

### 1 病例

病例 1 患者 8 岁 5 个月,女孩,因"发现心脏结构畸形 8 年余"入住宁波大学附属妇女儿童医院。个人史: 患儿系第一胎第一产,足月自然分娩,出生体质量 2 500 g,身长 50 cm,无窒息史,3 个月抬头,7 个月坐,1 岁独立行走,智力发育落后于正常同龄儿,目前特殊学校上小学二年级,成绩差,与老师同学关系尚可。家族史: 无殊。体格检查: 眼距较宽,口唇饱满(图 1A),胸骨左缘 3、4 肋间可及 III/VI 级收缩期吹风样杂音,可触及震颤,无传导,P2 有亢进;腹部用力后左腹股沟可及一肿块,大小约 1.5 cm×1.0 cm,肿块表面光滑,边界清,局部皮肤无明显红肿,肿块按之可回纳,无压痛,透光实验(-)。辅助检查:入院

狭窄矫治术。术后恢复良好,Lowery 评分 6 分。 病例 2 患者 5 岁 7 个月,女孩,因"发现心脏杂音 5 年余"入住宁波大学附属妇女儿童医院。个人 史:患儿系第二胎第二产,孕 34 周自然分娩,出生体 质量 1 750 g,身长 45 cm,无窒息史,3 个月抬头,8 个月坐,1 岁独立行走,智力发育落后于正常同龄儿, 目前上幼儿园中班,与老师同学关系尚可。家族史: 无殊。体格检查:"小精灵面容"(鼻梁平,鼻尖上翘, 长人中,宽嘴巴,大耳垂,图 1B),体质量 17 kg,胸骨 左缘 2 ~ 4 肋间可及 III/VI 级收缩期杂音,胸前区 可触及震颤。脊柱有侧弯。辅助检查:入院后生化 示血钙 2.43 mmol/L,血糖 4.67 mmol/L;甲状腺功能 检查提示高甲状腺素血症。串联质谱、免疫球蛋白 测定无殊,头颅 CT 无殊,心电图示窦性心动过速,

异常 Q 波。肺功能检查示脉冲震荡。肝、脾、肾彩色 B 超示肝左静脉与肝中静脉可见交通支。超声心动

图示 SVAS, 见图 2C。主肺动脉 CT 血管造影(CTA)

示心影增大,主动脉上狭窄,见图 2D。入院后患儿

完善术前检查,排除禁忌证,在全身麻醉气管插管下

作者单位: 315012 宁波,宁波大学附属妇女儿童医院通信作者: 闫露露,Email: luluyan0228@sina.com

基金项目: 宁波市医学重点学科(2022-B17);宁波市儿童健康与疾病临床医学研究中心(2019A21002);宁波市重点技术研发项目(2023Z178)

行体外循环下主动脉瓣上狭窄矫治术,术后恢复良好,Lowery 评分 6 分。

病例 3 患者 6 岁 4 个月, 男孩, 因"发现智力低下 1 年余"就诊于宁波大学附属妇女儿童医院。个人史: 患儿系第一胎第一产, 足月自然分娩, 出生体质量 2 600 g, 身长 50 cm, 无窒息史, 5 个月抬头, 9 个月坐, 1.5 岁独立行走, 目前在特殊学校上小学一年级, 成绩差。家族史: 无殊。体格检查: 特殊面容(圆脸, 宽前额, 眼距宽, 眼眶周围组织饱满, 长人中, 图 1C), 体质量 24 kg, 身高 112.7 cm, 胸骨左缘 2~4 肋间可及 III/VI 级收缩期杂音,胸前区可触及震颤。辅助检查: 甲状腺功能无殊。头颅 MRI 示胼胝体膝部显示不清。超声心动图示 SVAS, 见图 2E。格林菲斯量表评分: 运动技能 47 分, 个人-社会互动 36.5 分,语言 46 分, 手眼协调 36 分,表现 36.5 分,实际推理 40.5 分。Lowery 评分 6 分。

病例 4 患者 1 岁 7 月, 女孩, 因"精神发育迟缓半年余"就诊于宁波大学附属妇女儿童医院。个人史: 患儿系第一胎第一产, 足月自然分娩, 出生体质量 2 500 g, 身长 50 cm, 无窒息史, 2 个月抬头, 8 个月坐稳, 目前不能扶走, 不能扶墙站。喜欢头部碰撞, 语言单一, 无意识叫爸爸妈妈。家族史: 无殊。体格检查: 特殊面容(脸颊饱满, 眼距宽, 嘴唇宽厚, 图1D), 心肺听诊无殊, 神经系统无殊。辅助检查: 头颅

MRI 示左侧颞部局部脑外间隙增宽,考虑小蛛网膜可能。儿童发育量表评估(盖泽尔)发育龄:适应性10个月,大运动7.1个月,精细运动11.2个月,语言10个月,个人社交8.5个月;发育商为适应性55分,大运动38分,精细运动61分,语言55分,个人社交46分,结果异常;受试者反应一般,注意力一般,情绪欠佳,合作性合作,眼神交流有。Lowery评分4分。

本研究获得宁波市妇女儿童医院医学伦理委员会批准(编号: EC2023-094), 免除/豁免知情同意。

## 2 基因测序

2.1 全外显子组测序 采集患儿及父母外周血样各 2 ml,使用 QIAamp DNA Blood Mini Kit 试剂盒(货号:51185,QIAGEN 公司)提取 DNA。采用 Novaseq 6000 测序平台(美国 Illumina 公司),对家系成员进行全外显子组测序。下机得到的原始数据使用 GATK v4.1.9.0 和 VarScanv 2019Oct24 软件进行序列比对和变异的识别,应用 Annovar 和 InterVar 软件对变异位点进行注释。HGMD (https://www.hgmd.cf.ac. uk/ac/index.php)、1000 Genomes (http://gnomad-sg. org/)、ExAC (http://exac.broadinstitute.org)、dbSNP (http://www.ncbi.nlm.nih.gov/SNP/)、ClinVar (https://www.ncbi.nlm.nih.gov/clinvar/) 等数据库用于筛选可疑的致病变异,使用基因变异相关数据库 ClinVar、



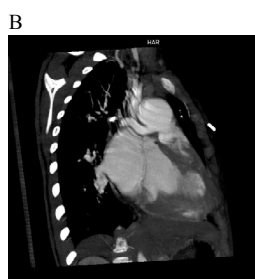






注: A 为病例 1, B 为病例 2, C 为病例 3, D 为病例 4 图 1 Williams-Beuren 综合征患儿特殊面容











注: A 为病例 1 超声心动图, 示室间隔缺损; B 为病例 1 主肺动脉 CT 血管造影图, 示右肺动脉狭窄。  $C \sim D$  为病例 2 超声心动图及主肺动脉 CT 血管造影图, 示主动脉上狭窄。 E 为病例 3 超声心动图, 示主动脉上狭窄

图 2 Williams-Beuren 综合征患儿超声心动图及主肺动脉 CT 血管造影图

HGMD等对致病变异进行确认,找出可疑致病变异<sup>[5]</sup>。 2.2 染色体微阵列分析 所用的芯片类型为 Cyto-ScanTM750K,利用 ChAS 4.0 软件过滤数据。参考 DGV、ClinVar、DECIPHER、ClinGen、OMIM 等公共数据库,结合 PubMed 文献库进行分析。

2.3 CNV-seq基因组 DNA 经过超声破碎、末端修复、接头链接、磁珠纯化、PCR 扩增后构建 DNA 文库,测序结果使用软件与人类参考基因组(hg19基因序列)进行比对,检索 DGV、DECIPHER、ClinGen、OMIM 等数据库发现可能的染色体异常。

#### 2.4 结果

2.4.1 基因检测结果 病例 1 于外院行多重连接酶 探针依赖扩增技术(MLPA),检测到 7q11.23 区域的 FKBP6、FZD9、TBL2、STX1A、ELN、LJMK1、 RFC2、CDIP2、POR及HSPB1基因杂合缺失。病例 2 染色体微阵列分析(CMA)检测到 7q11.23 区域存 在 2.079 Mb 片段致病性缺失 (chr72, 549, 980-74, 628,840)。病例 3 全外显子测序(WES)检测到受检 者7号染色体上存在拷贝数缺失变异,结合CNV-seq 检测验证结果,提示受检者存在7q11.23q11.23区段 存在约 1 424.896 kb 杂合缺失变异。病例 4 家系 WES 分析发现 7 号染色体上存在拷贝数缺失变异, 结合 CNV-seq 检测验证结果,提示受检者 7q11.23q11.23 区段存在约 1 455.44 kb 大小的杂合 缺失变异,受检者父母均未检出该拷贝数变异,推测 该拷贝数变异为受检者新发变异或父母一方存在生 殖细胞嵌合。根据 ACMG 拷贝数变异解读和报告 相关指南[6],该变异为致病性变异。

2.4.2 随访情况 病例 1 于术后 6 个月后随访,患儿智力发育落后,体格发育正常,语言发育基本正常,在特殊学校上小学;超声心动图示室间隔缺损修补术后改变。病例 2 于术后 12 个月后随访,患儿智力发育落后,体格发育正常,语言发育基本正常,在上幼儿园,超声心动图示 SVAS 术后改变:瓣上流速0.9 m/s。病例 3 于出院 6 个月后随访,患儿存在智力发育低下,体格发育基本正常,语言发育基本正常,在特殊学校上小学,超声心动图示 SVAS。病例4 于出院 6 个月后随访,存在语言运动发育落后,运动和作业疗法康复治疗,目前能独自行走,超声心动图因患儿不配合未完善。

#### 3 讨论

WBS 综合征先后由 Williams 等<sup>[7]</sup>报道,是一种 先天性多系统疾病,临床表现为特殊面容、内分泌紊 乱、发育障碍、运动发育迟缓、心血管系统畸形及心 律失常[3,8]。既往研究显示,WBS 患儿的特殊面容和 心脏结构畸形是确诊该疾病最重要的依据。WBS 的特殊面容常被形容为"小精灵面容"的,即前额宽而 突出,并眉,框周丰满,眼距宽,小眼裂,鼻梁扁平,鼻 孔前倾,长人中,嘴唇宽而厚,耳朵突出,下颌小。本 研究 4 例患儿均有不同程度的特殊面容, 其中病例 2、3 和 4 表现为典型的"小精灵面容"。心脏结构异 常在本病患儿中表现差异很大,从致死性到无明显 心血管受累均有可能发生, 心血管畸形约存在于 80%的患儿[10],其中最常见的是SVAS,本研究中2例 患者合并 SVAS,与既往文献报道的 45%~ 75%吻 合[11-12], 其中最常见的两种类型是: 主动脉窦管连接 处局限性沙漏样狭窄和升主动脉弥漫性长段狭窄, 前者更常见,占3/4,后者占1/4[13]。

SVAS可单独发生,但常合并其他类型的心血管病变,如 SVAS 与肺动脉狭窄 (pulmonary artery stenosis, PAS)或主动脉弓异常同时存在。SVAS 合并冠状动脉异常,包括冠状动脉开口狭窄和血管扩张 [12]。其次是肺动脉狭窄,PAS 最常见于分支和周围肺动脉,也可发生肺动脉瓣上狭窄,但较少见,约 12%的WBS 患者发生肺动脉瓣上狭窄,本研究中的 4 例患儿中有 3 例患儿存在心脏结构异常,病例 1 为室间隔缺损、右肺动脉狭窄,患儿 2 为 SVAS,患儿 3 为 SVAS,与既往文献报道类似。心脏结构异常目前现有的研究表明与弹性蛋白等位基因缺失(elastin,ELN)有关 [14],弹性蛋白是组成弹性纤维的主要物质之一,参与了主动脉、肺动脉、颈部韧带等组织的发育 [15],也与结缔组织发育有关 [16],2 例患儿心电图提示心室增大,未提示既往文献报道的 QTc 延长 [17]。

WBS常存在不同程度的高钙血症、高血糖和甲状腺功能低下等代谢紊乱<sup>[18]</sup>,本研究 4 例患儿均未发现患儿存在代谢紊乱。在神经认知方面,WBS 目前研究认为这部分患儿具有较强的语言表达和面部识别能力,可能与致病基因所致的听觉超敏有关<sup>[19]</sup>。WBS还存在不同程度的智力低下,本研究中 4 例患

儿都存在智力低下,影响患儿正常生活。有文献研究报道<sup>[20-21]</sup>,WBS 患儿的大脑总体积减小导致智力障碍,但也有研究显示患儿的小脑、梭状回和扣带回灰质体积相对增加,并不是脑体积减小,最新研究表明可能与其脑部相关区域功能受损有关,本研究 4例智力低下患儿 2 例头颅 CT、2 例头颅 MRI 未提示明显大脑体积变小。治疗上,对于心脏结构畸形,目前多采用手术治疗,对称手术(3-patch 修补法)与非对称手术(McGoon 修补法和 Doty 修补法)治疗。也可采用非药物治疗包括行为训练、感觉统合治疗。

WBS 预防至关重要。有研究表明,母孕期产前检查表现是非特异性的,可以表现为宫内发育迟缓,部分存在胎儿心脏结构异常,可以是常见的室间隔缺损、也可以是少见的 SVAS<sup>[22]</sup>,所以如果胎儿存在宫内发育迟缓心脏结构畸形,需要建议家属完善基因检查明确病因。

综上所述,当患儿存在心脏结构异常(特别是SVAS),合并有特殊面容,发育迟缓时,应尽早完善染色体检查,做到早发现早治疗,最大限度提高WBS患儿的生活质量。

利益冲突 所有作者声明无利益冲突

#### 参考文献

- [1] STROMME P, BJORNSTAD P G, RAMSTAD K. Prevalence estimation of williams syndrome[J]. J Child Neurol, 2002, 17(4):269-271.
- [2] PARRISH P C R, LIU D L, KNUTSEN R H, et al. Whole exome sequencing in patients with Williams-Beuren syndrome followed by disease modeling in mice points to four novel pathways that may modify stenosis risk[J]. Hum Mol Genet, 2020, 29(12): 2035-2050.
- [3] KOZEL B A, BARAK B, KIM C A, et al. Williams syndrome[J]. Nat Rev Dis Primers, 2021, 7(1): 42.
- [4] JIMENEZ-ALTAYO F, ORTIZ-ROMERO P, PUERTAS-UMBERT L, et al. Stenosis coexists with compromised α1-adrenergic contractions in the ascending aorta of a mouse model of Williams-Beuren syndrome[J]. Sci Rep, 2020, 10(1): 889.
- [5] RICHARDS S, AZIZ N, BALE S, et al. Standards and guidelines for the interpretation of sequence variants: A joint consensus recommendation of the American college of medical genetics and genomics and the association for molecular pathology[J]. Genet Med, 2015, 17(5): 405-424.
- [6] RIGGS E R, ANDERSEN E F, CHERRY A M, et al. Technical standards for the interpretation and reporting of constitutional copynumber variants: A joint consensus recommendation of the American college of medical genetics and genomics (ACMG) and the clinical genome resource (ClinGen)[J]. Genet Med, 2020, 22(2): 245-257.

- [7] WILLIAMS J C, BARRATT-BOYES B G, LOWE J B. Supraval-vular aortic stenosis[J]. Circulation, 1961, 24: 1311-1318.
- [8] 沈季阳,李芳芳,季钗,等.Williams 综合征儿童早期运动发育特征[J].中国当代儿科杂志,2022,24(9):984-987.
- [9] MORRIS C A, BRADDOCK S R, Coucil on Genetics. Health care supervision for children with williams syndrome[J]. Pediatrics, 2020, 145(2): e20193761.
- [10] COHEN J L, GLICKSTEIN J S, CRYSTAL M A. Drug-coated balloon angioplasty: A novel treatment for pulmonary artery in-stent stenosis in a patient with williams syndrome[J]. Pediatr Cardiol, 2017, 38(8): 1716-1721.
- [11] BROWN M L, NASR V G, TOOHEY R, et al. Williams syndrome and anesthesia for non-cardiac surgery: High risk can be mitigated with appropriate planning[J]. Pediatr Cardiol, 2018, 39(6): 1123-1128.
- [12] COLLINS R T, KAPLAN P, SOMES G W, et al. Cardiovascular abnormalities, interventions, and long-term outcomes in infantile Williams syndrome[J]. J Pediatr, 2010, 156(2): 253-258.
- [13] HICKEY E J, JUNG G, WILLIAMS W G, et al. Congenital supravalvular aortic stenosis: Defining surgical and nonsurgical outcomes[J]. Ann Thorac Surg, 2008, 86(6): 1919-1927.
- [14] HIDALGO I, GOMEZ VILDA P, GARAYZABAL E. Biomechanical description of phonation in children affected by williams syndrome[J]. J Voice, 2018, 32(4): 515.
- [15] DUQUE LASIO M L, KOZEL B A. Elastin-driven genetic diseases[J]. Matrix Biol, 2018, 71/72: 144-160.
- [16] KARMILOFF-SMITH A, GRANT J, EWING S, et al. Using case study comparisons to explore genotype-phenotype correlations in Williams-Beuren syndrome[J]. J Med Genet, 2003, 40(2): 136-140.
- [17] COLLINS R T. Clinical significance of prolonged QTc interval in Williams syndrome[J]. Am J Cardiol, 2011, 108(3): 471-473.
- [18] POBER B R, WANG E, CAPRIO S, et al. High prevalence of diabetes and pre-diabetes in adults with Williams syndrome[J]. Am J Med Genet C Semin Med Genet, 2010, 154C(2): 291-298.
- [19] ROYSTON R, WAITE J, HOWLIN P. Williams syndrome: Recent advances in our understanding of cognitive, social and psychological functioning[J]. Curr Opin Psychiatry, 2019, 32(2): 60-66.
- [20] CAMPBELL L E, STEVENS A, DALY E, et al. A comparative study of cognition and brain anatomy between two neurodevelopmental disorders: 22q11.2 deletion syndrome and williams syndrome[J]. Neuropsychologia, 2009, 47(4): 1034-1044.
- [21] REILLY J, LOSH M, BELLUGI U, et al. "Frog, where are you?" Narratives in children with specific language impairment, early focal brain injury, and Williams syndrome[J]. Brain Lang, 2004, 88 (2): 229-247
- [22] YUAN M Z, DENG L B, YANG Y J, et al. Intrauterine phenotype features of fetuses with Williams-Beuren syndrome and literature review[J]. Ann Hum Genet, 2020, 84(2): 169-176.

收稿日期:2024-09-02 (本文编辑:钟美春)